

## БЕЗИНЕРЦИОННЫЕ ЛАМИНАРНЫЕ ТЕЧЕНИЯ ВЯЗКОГО ГАЗА В ПЛОСКИХ КАНАЛАХ

И. В. Петухов

(Москва)

В работе даны точные решения для случая безинерционных ламинарных течений вязкого газа в плоских каналах. Уравнения движения и уравнение притока тепла для этого случая интегрируются в общем виде во всем диапазоне изменения приведенной скорости и при произвольной зависимости физических параметров газа (коэффициентов вязкости, коэффициента теплопроводности и удельной теплоемкости) от температуры.

**1. Исходная система уравнений.** Рассмотрим установившиеся течения газа при отсутствии массовых сил и притока тепла от излучения. Исходная система уравнений имеет вид:

*уравнение неразрывности*

$$\operatorname{div} \rho \mathbf{V} = 0 \quad (1.1)$$

*уравнение Навье-Стокса*

$$\rho \frac{d\mathbf{V}}{dt} = \operatorname{div} \Pi \quad (1.2)$$

*уравнение притока тепла*<sup>1</sup>

$$\rho \frac{d}{dt} \left( \frac{v^2}{2} + \frac{p}{\rho} + J c_v T \right) = \operatorname{div} \left( J \eta \operatorname{grad} T + \mu \operatorname{grad} \frac{v^2}{2} + \mu \frac{d\mathbf{V}}{dt} + \nu \mathbf{V} \operatorname{div} \mathbf{V} \right)$$

Уравнение (1.3) справедливо как для несжимаемой жидкости, так и для газа. В случае газа к нему надо добавить уравнение состояния

$$\frac{p}{\rho} = J(c_p - c_v)T \quad (1.4)$$

В формулах (1.1)–(1.4) приняты следующие обозначения:  $t$  — время,  $\Pi$  — тензор напряжений,  $\mathbf{V}$  — вектор скорости,  $v$  — модуль вектора скорости,  $\rho$  — плотность,  $p$  — давление,  $T$  — абсолютная температура,  $c_p$  — теплоемкость при постоянном давлении,  $c_v$  — теплоемкость при постоянном объеме,  $\mu$  — коэффициент вязкости,  $\nu$  — второй коэффициент вязкости,  $J$  — механический эквивалент тепла.

Выпишем формулы для записи уравнений (1.1)–(1.3) в любой системе криволинейных ортогональных координат  $q_m$  ( $m = 1, 2, 3$ ).

<sup>1</sup> Уравнение притока тепла в форме (1.3) нетрудно получить, исходя из его обычного вида<sup>[1]</sup>:

$$\rho \frac{d}{dt} \left( \frac{1}{2} v^2 + J c_v T \right) = \operatorname{div} (J \eta \operatorname{grad} T) + \frac{\partial P_x V}{\partial x} + \frac{\partial P_y V}{\partial y} + \frac{\partial P_z V}{\partial z}$$

используя уравнение неразрывности (1.1).

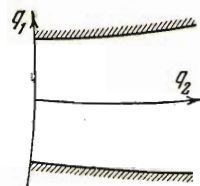
Для составляющих  $d\mathbf{V}/dt$  и расхождения тензора напряжений  $\operatorname{div} \Pi$  на координатные оси  $q_m$  имеем [1, 2]

$$\left(\frac{d\mathbf{V}}{dt}\right)_m = \sum_{k=1}^3 \left( \frac{\nu_k}{H_m H_k} \frac{\partial v_m H_m}{\partial q_k} - \frac{v_k^2}{H_m H_k} \frac{\partial H_k}{\partial q_m} \right) \quad (1.5)$$

$$\left(\operatorname{div} \Pi\right)_m = \frac{1}{H_m} \sum_{k=1}^3 \left[ \frac{1}{H_1 H_2 H_3} \frac{\partial}{\partial q_k} \left( H_1 H_2 H_3 \frac{H_m}{H_k} p_{mk} \right) - \frac{p_{kk}}{H_k} \frac{\partial H_k}{\partial q_m} \right] \quad (1.6)$$

$$\begin{aligned} p_{kk} &= -p + \nu \operatorname{div} \mathbf{V} + \frac{2\mu}{H_k} \left( \frac{\partial v_k}{\partial q_k} - \frac{v_k}{H_k} \frac{\partial H_k}{\partial q_k} + \sum_{m=1}^3 \frac{v_m}{H_m} \frac{\partial H_k}{\partial q_m} \right) \\ p_{km} &= \mu \left( \frac{1}{H_m} \frac{\partial v_k}{\partial q_m} + \frac{1}{H_k} \frac{\partial v_m}{\partial q_k} - \frac{v_k}{H_k H_m} \frac{\partial H_m}{\partial q_m} - \frac{v_m}{H_m H_k} \frac{\partial H_m}{\partial q_k} \right) \quad (m \neq k) \end{aligned} \quad (1.7)$$

где  $p_{km}$  — составляющие тензора направлений,  $v_m$  — составляющие вектора скорости,  $H_m$  — параметры Ламе.



Фиг. 1

$$\operatorname{div} \mathbf{S} = \frac{1}{H_1 H_2 H_3} \sum_{m=1}^3 \frac{\partial}{\partial q_m} \left( H_1 H_2 H_3 \frac{s_m}{H_m} \right)$$

$$(\operatorname{grad} \sigma)_m = \frac{1}{H_m} \frac{\partial \sigma}{\partial q_m}, \quad \frac{d\sigma}{dt} = \sum_{m=1}^3 \frac{v_m}{H_m} \frac{\partial \sigma}{\partial q_m} \quad (1.8)$$

где  $\sigma$  — любая скалярная, а  $\mathbf{S}$  — векторная функция, а  $(\mathbf{S})_m = s_m$  — физические составляющие вектора  $\mathbf{S}$ .

Рассмотрим теперь течение в плоском канале (фиг. 1). За координатные линии  $q_2$  возьмем прямые, нормальные к плоскости чертежа. Ограничимся случаем, когда все параметры течения не зависят от  $q_2$ . Тогда плоскую систему ортогональных криволинейных координат  $q_1, q_3$  всегда можно выбрать так, чтобы проекция скорости на ось  $q_1$  равнялась нулю.

В выбранной таким образом координатной системе будем иметь

$$H_2 = 1, \quad \frac{\partial}{\partial q_2} = 0, \quad v_1 = 0 \quad (1.9)$$

Исходная система уравнений для газа примет с учетом (1.5)–(1.9) следующий вид.

*Уравнение неразрывности*

$$\frac{\partial \rho v_3 H_1}{\partial q_3} = 0 \quad (1.10)$$

*Уравнение притока тепла*

$$\frac{\rho v_3}{H_3} \frac{\partial}{\partial q_3} \left( \frac{v^2}{2} + J c_p T \right) = \frac{1}{H_1 H_3} \left[ \frac{\partial}{\partial q_1} H_3 \left( \frac{J \eta}{H_1} \frac{\partial T}{\partial q_1} + \frac{\mu}{H_1} \frac{\partial}{\partial q_1} \frac{v^2}{2} - \right. \right. \quad (1.11)$$

$$\left. \left. - \mu \frac{v_3^2}{H_1 H_3} \frac{\partial H_3}{\partial q_1} \right) + \frac{\partial}{\partial q_3} H_1 \left( \frac{J \eta}{H_3} \frac{\partial T}{\partial q_3} + \frac{\mu}{H_3} \frac{\partial}{\partial q_3} \frac{v^2}{2} + \mu \frac{v^3}{H_1} \frac{\partial v_3}{\partial q_3} + \nu \frac{v_3}{H_1 H_3} \frac{\partial v_3 H_1}{\partial q_3} \right) \right]$$

*Уравнения движения*

$$\rho \left( \frac{d\mathbf{V}}{dt} \right)_m = (\operatorname{div} \Pi)_m \quad (m = 1, 2, 3) \quad (1.12)$$

где

$$\left(\frac{dV}{dt}\right)_1 = -\frac{v_3^2}{H_1 H_3} \frac{\partial H_3}{\partial q_1}, \quad \left(\frac{dV}{dt}\right)_2 = \frac{v_3}{H_3} \frac{\partial v_2}{\partial q_3}, \quad \left(\frac{dV}{dt}\right)_3 = \frac{v_3}{H_1} \frac{\partial v_3}{\partial q_3} \quad (1.13)$$

$$(div \Pi)_1 = \frac{1}{H_1} \left[ \frac{1}{H_1 H_3} \left( \frac{\partial H_1 H_3 p_{11}}{\partial q_1} + \frac{\partial H_1 p_{13}}{\partial q_3} \right) - \frac{p_{11}}{H_1} \frac{\partial H_1}{\partial q_1} - \frac{p_{33}}{H_3} \frac{\partial H_3}{\partial q_1} \right] \\ (div \Pi)_2 = \frac{1}{H_1} \left( \frac{\partial H_3 p_{21}}{\partial q_1} + \frac{\partial H_1 p_{23}}{\partial q_3} \right) \quad (1.14)$$

$$\frac{1}{H_3} \left[ \frac{1}{H_1 H_3} \left( \frac{\partial H_3^2 p_{31}}{\partial q_1} + \frac{\partial H_1 H_3 p_{33}}{\partial q_3} \right) - \frac{p_{11}}{H_1} \frac{\partial H_1}{\partial q_3} - \frac{p_{33}}{H_3} \frac{\partial H_3}{\partial q_3} \right] \\ + \frac{\nu}{H_1 H_3} \frac{\partial v_3 H_1}{\partial q_3} + \frac{2\mu}{H_1 H_3} v_3 \frac{\partial H_1}{\partial q_3}, \quad p_{12} = \frac{\mu}{H_1} \frac{\partial v_2}{\partial q_1} \\ p_{22} = -p + \frac{\nu}{H_1 H_3} \frac{\partial v_3 H_1}{\partial q_3}, \quad p_{23} = \frac{\mu}{H_3} \frac{\partial v_2}{\partial q_3} \quad (1.15) \\ \frac{\nu}{H_1 H_3} \frac{\partial v_3 H_1}{\partial q_3} + \frac{2\mu}{H_3} \frac{\partial v_3}{\partial q_3}, \quad p_{31} = \mu \left( \frac{1}{H_1} \frac{\partial v_3}{\partial q_1} - \frac{v_3}{H_3 H_1} \frac{\partial H_3}{\partial q_1} \right)$$

но, что такие безинерционные течения, если они существуют двух типов:

$$v_2 = 0, \quad \frac{\partial v_3}{\partial q_3} = 0, \quad \frac{\partial H_3}{\partial q_1} = 0 \quad (1.16)$$

$$v_3 = 0 \quad (1.17)$$

так как линии тока в безинерционном течении могут быть только прямыми, то течения первого типа — безинерционные осевые течения — могут существовать лишь в каналах с прямолинейными стенками. Можно показать, что течения вида (1.9), (1.6) существуют только в цилиндрических координатах. Течения второго вида — безинерционные окружные течения — могут существовать в каналах произвольной формы.

**2. Осевые безинерционные течения.** Рассмотрим осевые течения (фиг. 2а, 2б) в цилиндрической системе координат

$$q_1 = \varphi, \quad q_2 = y, \quad q_3 = R + \zeta, \quad H_1 = R + \zeta, \quad H_3 = 1$$

Исходная система (1.10)–(1.15) примет с учетом (1.16) вид:

$$\frac{\partial v_\xi}{\partial \zeta} = 0, \quad \frac{\partial p(R + \zeta)}{\partial \zeta} = 0 \quad (2.1)$$

$$(R + \zeta) \frac{\partial p_{\varphi\varphi}}{\partial \varphi} + \frac{\partial}{\partial \zeta} [(R + \zeta)^2 p_{\zeta\varphi}] = 0, \quad \frac{\partial p_{\zeta\varphi}}{\partial \varphi} + \frac{\partial}{\partial \zeta} [(R + \zeta) p_{\zeta\zeta}] - p_{\varphi\varphi} = 0 \quad (2.2)$$

$$p_{\varphi\varphi} = -p + (\nu + 2\mu) \frac{v_\zeta}{R + \zeta}, \quad p_{\zeta\varphi} = \frac{\mu}{R + \zeta} \frac{dv_\xi}{d\varphi} \quad (2.3)$$

$$p_{\zeta\zeta} = p_{yy} = -p + \nu \frac{v_\zeta}{R + \zeta}, \quad p_{\varphi y} = p_{y\zeta} = 0$$

$$\rho v_\zeta \frac{\partial J c_p T}{\partial \zeta} = \frac{1}{R + \zeta} \left\{ \frac{\partial}{\partial \varphi} \left[ \frac{1}{R + \zeta} \left( J \eta \frac{\partial T}{\partial \varphi} + \mu \frac{d}{d\varphi} \frac{v_\zeta^2}{2} \right) \right] + \right. \\ \left. + \frac{\partial}{\partial \zeta} \left[ (R + \zeta) J \eta \frac{\partial T}{\partial \zeta} + \nu v_\zeta^2 \right] \right\} \quad (2.4)$$

2-я ТИПОГРАФИЯ  
ИЗДАТЕЛЬСТВА АКАДЕМИИ НАУК  
СССР  
Москва, Шубинский пер., д. 10

## КОНТРОЛЕН № 4

Книге  
обнаружены недостатков в  
данном изображении книга вместе с  
вкладом для обмена

При  
просим  
возвратить книгу вместе с  
вкладом для обмена

Задача состоит в интегрировании этой системы уравнений при краевом условии на стенах канала

$$v_\zeta(\varphi_c) = v_\zeta(-\varphi_c) = 0 \quad (2.5)$$

Можно показать, что при постоянных физических параметров газа

$$\frac{\partial T}{\partial \zeta} = 0 \quad (2.6)$$

Примем условие (2.6) за исходное и в случае, когда физические параметры газа ( $\mu$ ,  $\nu$ ,  $\eta$ ,  $c_p$ ) являются функциями температуры. Тогда будем иметь с учетом (2.1), (2.3), (1.4)

$$\rho = \frac{p_R}{1 + \zeta/R}, \quad p = \frac{p_R}{1 + \zeta/R} \quad (2.7)$$

$$p_{\varphi\varphi} = \frac{p_{\varphi\varphi} R}{1 + \zeta/R}, \quad p_{\zeta\varphi} = \frac{p_{\zeta\varphi} R}{1 + \zeta/R}$$

$$p_{\zeta\zeta} = p_{yy} = \frac{p_{\zeta\zeta} R}{1 + \zeta/R}$$

где индекс  $R$  внизу обозначает значение функции в сечении  $\zeta = 0$ . Система (2.2) принимает вид

$$\frac{dp_{\varphi\varphi} R}{d\varphi} = -p_{\zeta\varphi} R, \quad p_{\varphi\varphi} R = \frac{dp_{\zeta\varphi} R}{d\varphi}$$

Общий интеграл этой системы

$$p_{\varphi\varphi} R = -c_2 \sin \varphi - c_1 \cos \varphi, \quad p_{\zeta\varphi} R = -c_1 \sin \varphi + c_2 \cos \varphi \quad (2.8)$$

Найдем выражения для скорости и давления. Из (2.3) получим с учетом (2.8)

$$\frac{\mu}{R} \frac{dv_\zeta}{d\varphi} = -c_1 \sin \varphi + c_2 \cos \varphi, \quad p_R = c_2 \sin \varphi + c_1 \cos \varphi + \frac{\nu + 2\mu}{R} v_\zeta \quad (2.9)$$

Заметим теперь, что в силу (2.1), (2.6) скорость можно считать функцией только температуры и обратно. Обозначим

$$v_\zeta^x = \int_0^{v_\zeta} \mu^\circ(v_\zeta) dv_\zeta \quad (2.10)$$

Здесь и в дальнейшем индексом  $x$  наверху будем обозначать отношение функции к ее значению на стенке при одинаковых  $\zeta$ . Индексами  $s$  и  $t$  внизу будем обозначать значения функции на стенке и на оси симметрии канала соответственно. Функция  $v_\zeta^x$  должна в силу (2.5) удовлетворять условиям

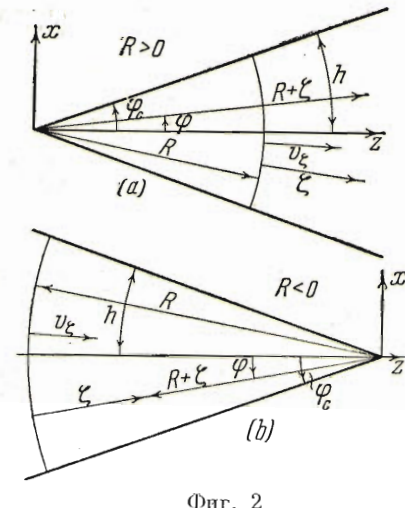
$$v_\zeta^x(\varphi_c) = v_\zeta^x(-\varphi_c) = 0 \quad (2.11)$$

Интеграл первого уравнения (2.9)

$$\frac{\mu_c}{R} v_\zeta^x = c_1 \cos \varphi + c_2 \sin \varphi - c_3$$

и условия (2.11) дадут

$$c_1 = \frac{\mu_c}{R} \frac{v_{\zeta m}^x}{1 - \cos \varphi_c}, \quad c_2 = 0, \quad c_3 = c_1 \cos \varphi_c \quad (2.12)$$



Фиг. 2

Отсюда

$$\frac{v_{\zeta}^{\times}}{v_{\zeta m}^{\times}} = \frac{\cos \varphi - \cos \varphi_c}{1 - \cos \varphi_c} \quad (2.13)$$

Второе соотношение (2.9) можно теперь записать в виде

$$p_R = p_{Rc} + \frac{\mu_c}{R} \left[ v_{\zeta}^{\times} + \left( \frac{v_c}{\mu_c} \nu^{\circ} + 2\mu^{\circ} \right) v_{\zeta} \right] \quad (2.14)$$

где

$$p_{Rc} = c_3 = \frac{\mu_c}{R} v_{\zeta m}^{\times} \frac{\cos \varphi_c}{1 - \cos \varphi_c} \quad (2.15)$$

Последнее соотношение представляет собой условие, необходимое для существования безинерционного течения. Так как давление в совершенном газе отрицательным быть не может, то из условия (2.15) ясно, что при  $R > 0$  (случай диффузора) безинерционное течение осуществимо только в интервале

$$0 < \varphi_c < \frac{1}{2}\pi$$

При  $R < 0$  (случай конфузора) безинерционное течение невозможно.

Действительно, если бы оно существовало, то только, как это видно из (2.15), в интервале  $\frac{1}{2}\pi < \varphi_c < \pi$ .

Однако [1] в силу неравенства  $\nu + 2\mu > 0$  из (2.14), (2.15) следует

$$p_{Rm} < p_{Rc} + \frac{\mu_c}{R} v_{\zeta m}^{\times} = \frac{\mu_c}{R} v_{\zeta m}^{\times} \frac{1}{1 - \cos \varphi_c} < 0$$

что невозможно. Введем число Рейнольдса  $R_e$ :

$$R_e = \frac{p_c (R + \zeta)}{\mu_c v_{\zeta m}^{\times}} = \frac{p_{Rc} R}{\mu_c v_{\zeta m}^{\times}} \quad (2.16)$$

которое в силу (2.7) не зависит от  $\zeta$ .

Соотношения (2.14) и условие (2.15) могут тогда быть записаны в виде

$$p^{\circ} = 1 + \frac{1}{R_e} \left[ \frac{v_{\zeta}^{\times}}{v_{\zeta m}^{\times}} + \left( \frac{v_c}{\mu_c} \nu^{\circ} + 2\mu^{\circ} \right) \frac{v_{\zeta}}{v_{\zeta m}^{\times}} \right] \quad (2.17)$$

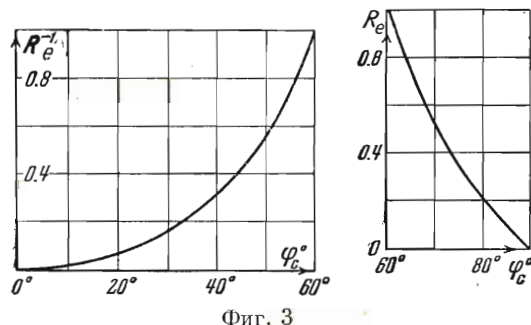
$$R_e = \frac{\cos \varphi_c}{1 - \cos \varphi_c} \quad (2.18)$$

Зависимость числа  $R_e$  от  $\varphi_c$  представлена на фиг. 3. Для касательного напряжения на стенке  $p_{\zeta \varphi c}$  из (2.3) получим с учетом (2.9), (2.12), (2.16) (2.18) выражение

$$p_{\zeta \varphi c} = -p_c \operatorname{tg} \varphi_c$$

Перейдем к определению температуры и плотности. Уравнение (2.4) примет с учетом (2.6) вид:

$$\frac{d}{d\varphi} \left( J \eta \frac{dT}{d\varphi} + \mu \frac{dv_{\zeta}^2 / 2}{d\varphi} \right) = 0$$



Ограничимся случаем, когда теплопередача через стенки отсутствует:

$$J\eta \frac{dT}{d\varphi} + \mu \frac{dv_\zeta^2/2}{d\varphi} = 0$$

Введя число Прандтля  $P = \frac{\eta}{\mu c_p}$ , найдем

$$\frac{v_\zeta^2}{2} + \int_{T_c}^{T^\circ} \frac{Jc_p(T)}{P(T)} dT = 0 \quad \text{или} \quad \Lambda^{\times_2} + \int_1^{T^\circ} \frac{c_p^\circ(T^\circ)}{P^\circ(T^\circ)} dT^\circ = 0 \quad (2.19)$$

где

$$\Lambda^{\times} = \frac{\sqrt{P_c}}{\sqrt{2Jc_p T_c}} v_\zeta \quad (2.20)$$

Обозначим еще

$$\Omega(\Lambda^{\times}) = \frac{v_\zeta^{\times}}{v_\zeta} = \frac{1}{\Lambda^{\times}} \int_0^{\Lambda^{\times}} \mu^\circ(\Lambda^{\times}) d\Lambda^{\times} \quad (2.21)$$

Функция  $\Omega(\Lambda^{\times})$  легко определяется при помощи (2.19), если известна зависимость физических параметров газа  $\mu$ ,  $\eta$ ,  $c_p$  от температуры.

Формулы (2.13), (2.16) — (2.18) примут в новых обозначениях вид:

$$\frac{\Lambda_m^{\times} \Omega(\Lambda_m^{\times})}{\Lambda_m^{\times} \Omega(\Lambda_m^{\times})} = \frac{\cos \varphi - \cos \varphi_c}{1 - \cos \varphi_c} \quad (2.22)$$

$$p^\circ = 1 + \frac{1}{R_e} \left[ \frac{\Lambda_m^{\times} \Omega(\Lambda_m^{\times})}{\Lambda_m^{\times} \Omega(\Lambda_m^{\times})} + \left( \frac{v_c}{\mu_c} v^\circ + 2\mu^\circ \right) \frac{\Lambda_m^{\times}}{\Lambda_m^{\times} \Omega(\Lambda_m^{\times})} \right] \quad (2.23)$$

$$R_e = \frac{\sqrt{2Jc_p T_c}}{\sqrt{P_c}} \frac{p_{Rc} R}{\mu_c \Lambda_m^{\times} \Omega(\Lambda_m^{\times})} = \frac{\cos \varphi_c}{1 - \cos \varphi_c} \quad (2.24)$$

Наконец, безразмерная плотность  $\rho^\circ$  определяется из уравнения состояния

$$\rho^\circ = \frac{p^\circ}{T^\circ} \quad (2.25)$$

Ход решения следующий. При заданных параметрах  $T_c$ ,  $p_{Rc} R_c$ ,  $\Lambda_m^{\times}$  определяются из (2.19) температура, а из (2.21) величина  $\Omega$  как функция  $\Lambda^{\times}$ . Затем из условия безинерционности (2.24) определяется угол  $\varphi_c$ , а из (2.22) величина  $\Lambda^{\times}$  как функция  $\varphi$ . Наконец, по (2.19), (2.23), (2.25) находятся распределения температуры, давления и плотности по углу  $\varphi$ .

В качестве примера найденного решения рассмотрим случай, когда зависимость  $\mu^\circ$  от температуры дается формулой Сазерленда

$$\mu^\circ = \frac{\mu}{\mu_c} = \frac{1 + T_i^\circ}{T^\circ + T_i^\circ} T^{\circ \cdot 1/2}, \quad T_i^\circ = \frac{122^\circ}{T_c} \quad \begin{cases} (c_p = \text{const}) \\ (P = \text{const}) \end{cases} \quad (2.26)$$

Формула (2.19) принимает в этом случае вид:

$$T^\circ = 1 - \Lambda^{\times_2} \quad (2.27)$$

Отсюда следует ограничение для  $\Lambda^*$ :

$$\Lambda^* < 1$$

Подставив  $\mu^\circ$  из (2.26) в (2.24), получим с учетом (2.27)

$$\Omega(\Lambda^*) = a_1 \sqrt{1 - \Lambda^{*2}} + \frac{a_2}{\Lambda^*} \arctg \frac{\Lambda^*}{\sqrt{1 - \Lambda^{*2}}} + \frac{a_3}{\tau \Lambda^*} \arctg \frac{\tau \Lambda^*}{\sqrt{1 - \Lambda^{*2}}} \quad (2.28)$$

где

$$a_1 = \frac{1 + T_i^\circ}{2}, \quad a_2 = \frac{1 - T_i^\circ}{2} - T_i^{\circ 2}, \quad a_3 = T_i^{\circ 2}, \quad \tau = \sqrt{\frac{T_i^\circ}{1 + T_i^\circ}} \quad (2.29)$$

Приведем значения функции  $\Omega(\Lambda^*)$  при температуре стенки  $T_c = 288^\circ$

$\Lambda^* =$	0	0.05	0.10	0.15	0.20	0.25	0.30
$\Omega =$	1	0.9993	0.9973	0.9940	0.9893	0.9832	0.9758
$\Lambda^* =$	0.35	0.40	0.45	0.50	0.55	0.60	0.65
$\Omega =$	0.9669	0.9565	0.9446	0.9311	0.9159	0.8990	0.8802
$\Lambda^* =$	0.70	0.75	0.80	0.85	0.90	0.95	1
$\Omega =$	0.8595	0.8367	0.8117	0.7843	0.7543	0.7219	0.6876

Найдем параметры адиабатического торможения. Обозначать их будем индексом 0 внизу. По определению имеем

$$\frac{v_\zeta^2}{2} + J c_p T = J c_p T_0$$

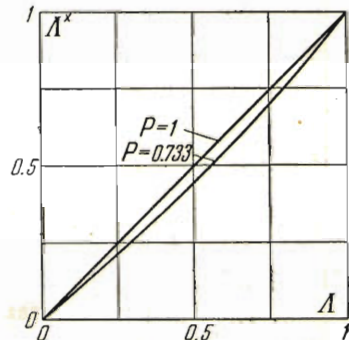
Отсюда с учетом (2.20), (2.27)

$$T_0^\circ = 1 + \frac{1 - P}{P} \Lambda^{*2} \quad (2.30)$$

Выразим приведенную скорость  $\Lambda$  через  $\Lambda^*$ . Из (2.20) получим с учетом (2.30)

$$\Lambda = \frac{v_\zeta}{\sqrt{2J c_p T_0}} = \frac{\Lambda^*}{\sqrt{P + (1 - P) \Lambda^{*2}}},$$

$$\Lambda^* = \frac{\sqrt{P} \Lambda}{\sqrt{1 - (1 - P) \Lambda^2}} \quad (2.31)$$



Фиг. 4

Из последних соотношений следует, что  $\Lambda = 1$  при  $\Lambda^* = 1$ . Вид зависимости функции  $\Lambda^*(\Lambda)$  при числе  $P = 0.733$  изображен на фиг. 4.

Параметры адиабатического торможения выражаются через найденную из (2.31) приведенную скорость  $\Lambda$  по известным формулам:

$$p_0^\circ (1 - \Lambda^2)^{\frac{x}{1-x}} = p^\circ, \quad p_0^\circ (1 - \Lambda^2)^{\frac{1}{1-x}} = p^\circ, \quad T_0^\circ (1 - \Lambda^2) = T^\circ$$

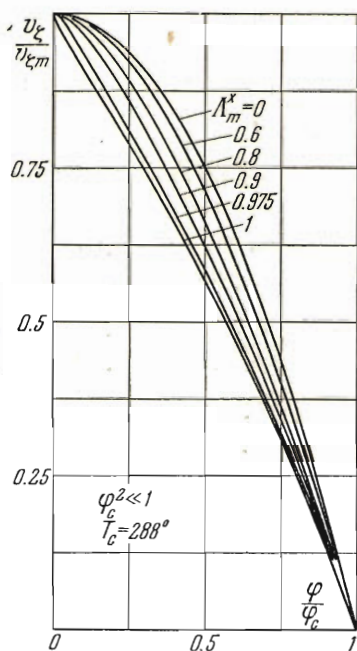
где  $x = c_p / c_v$  — показатель адиабаты.

На фиг. 5—9 даны результаты расчета при значении  $T_c = 288^\circ$  для случая малых углов  $\varphi_c$ , когда величиной  $\varphi_c^2$  можно пренебречь по срав-

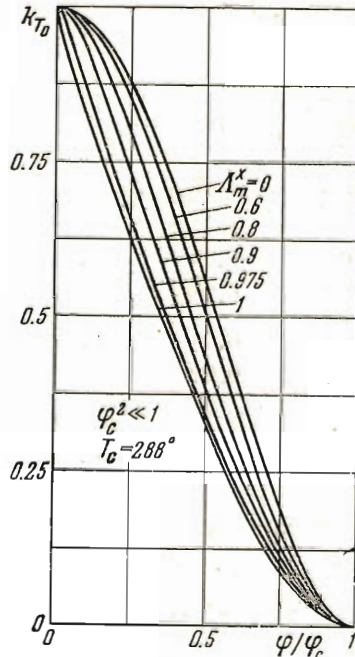
нению с единицей. В этом случае формулы (2.22) — (2.24) упрощаются:

$$\frac{\Lambda_m^x \Omega(\Lambda_m^x)}{\Lambda_m^x \Omega(\Lambda_m^x)} = 1 - \varphi_c^{\circ 2}, \quad p^{\circ} = 1, \quad R_e = \frac{2}{\varphi_c^{\circ 2}}$$

и распределение скорости не зависит от угла  $\varphi_c$ .



Фиг. 5



Фиг. 6

На фиг. 6, 7 приняты обозначения

$$k_T = \frac{T - T_c}{T_m - T_c}, \quad k_{T_0} = \frac{T_0 - T_c}{T_{0m} - T_c}, \quad -k_T = k_{T_0}, \quad k_\rho = \frac{\rho - \rho_c}{\rho_m - \rho_c}$$

В табл. 4 приведены значения  $\varphi_c$  в зависимости от  $\Lambda_m^x$  и произведение  $p_c h$ , где давление выражено в единицах стандартной атмосферы, а

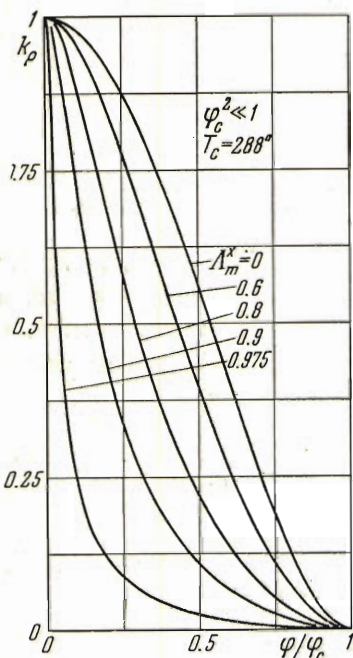
Таблица 1

$p_c h$	1	$10^{-1}$	$10^{-2}$	$10^{-3}$	$10^{-4}$
$\Lambda_m^x = 0.0$	0	0	0	0	0
0.2	0.0127	0.127	1.27	12.7	2.12
0.4	0.0236	0.236	2.36	23.6	3.94
0.6	0.0345	0.345	3.45	34.5	5.75
0.8	0.0415	0.415	4.15	41.5	6.92
1	0.0449	0.499	4.99	49.9	7.48

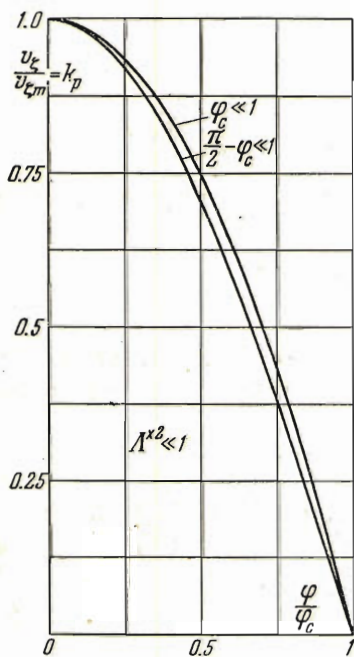
длина дуги раствора диффузора  $2h$  в метрах. Значения  $\varphi_c$  подсчитаны из условия безинерционности (2.24) по формуле

$$\varphi_c = 3.10 \times 10^{-7} \frac{\Lambda_m^x \Omega(\Lambda_m^x)}{\mu^* [ATA]^h [M]}$$

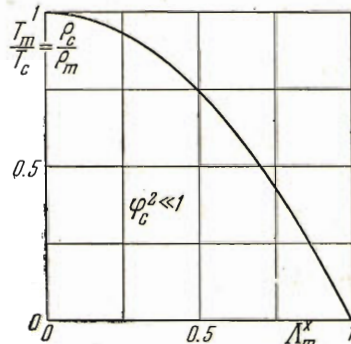
Из таблицы видно, что если давление на выходе из диффузора порядка атмосферного, а высота выходной части диффузора порядка сантиметра — метра, то угол  $\varphi_c$  ничтожно мал. Угол  $\varphi_c$  может стать заметным лишь при давлении на выходе, в несколько десятков раз меньшем атмосферного.



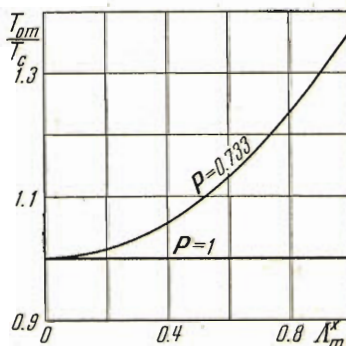
Фиг. 7



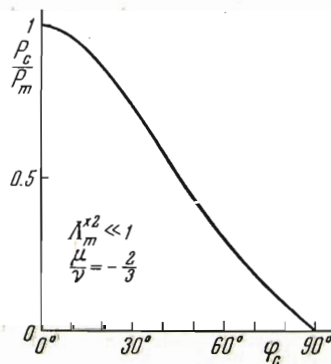
Фиг. 10



Фиг. 8



Фиг. 9



Фиг. 11

На фиг. 10—11 представлены результаты расчета при малых  $A_m^x$ , когда величиной  $A_m^{x^2}$  можно пренебречь по сравнению с единицей.

В этом случае из (2.27) — (2.29) следует

$$\Omega = 1, \quad T^\circ = 1, \quad \mu^\circ = v^\circ = 1$$

и формулы (2.22) — (2.25) принимают вид:

$$\frac{v_\zeta}{v_{\zeta m}} = \frac{\cos \varphi - \cos \varphi_c}{1 - \cos \varphi_c}$$

$$p^\circ = \rho^\circ = 1 + \frac{1}{Re} \left( \frac{v}{\mu} + 3 \right) \frac{v_\zeta}{v_{\zeta m}}, \quad Re = \frac{p_{Rc} R}{\mu v_{\zeta m}} = \frac{\cos \varphi_c}{1 - \cos \varphi_c}$$

Из графика фиг. 10, где обозначено  $k_p = (p - p_c) / (p_m - p_c)$ , видно, что распределение скорости слабо зависит от  $\varphi_c$ . От  $\varphi_c$  существенно зависит изменение давления вдоль оси  $\varphi$  (фиг. 11). Заметим в заключение, что, если стенки диффузора убрать и считать все величины не зависящими от  $\varphi$ , получим плоский безинерционный источник (сток)

$$v_\zeta = v_{\zeta R}, \quad T = T_R, \quad p = \frac{p_R}{1 + \zeta / R}, \quad \rho = \frac{\rho_R}{1 + \zeta / R}, \quad \frac{p_R}{\rho_R} = J (c_p - c_v) T_R$$

где все величины  $\sigma_R$  — константы,

**3. Окруженные безинерционные течения.** Напишем исходную систему уравнений. Из (1.10) — (1.15) получим с учетом (1.17)

$$p_{11} = p_{22} = p_{33} = -\rho = \text{const}$$

$$p_{12} = \frac{\mu}{H_1} \frac{\partial v_2}{\partial q_1}, \quad p_{23} = \frac{\mu}{H_3} \frac{\partial v_2}{\partial q_3}, \quad p_{31} = 0$$

$$\frac{\partial H_3}{\partial q_1} p_{12} + \frac{\partial H_1}{\partial q_3} p_{23} = 0$$

$$\frac{\partial}{\partial q_1} \frac{H_3}{H_1} \left( J \eta \frac{\partial T}{\partial q_1} + \mu \frac{\partial}{\partial q_1} \frac{v_2^2}{2} \right) + \frac{\partial}{\partial q_3} \frac{H_1}{H_3} \left( J \eta \frac{\partial T}{\partial q_3} + \mu \frac{\partial}{\partial q_3} \frac{v_2^2}{2} \right) = 0$$

Ограничимся случаем, когда решением уравнения притока тепла является интеграл:

$$\frac{v_2^2}{2} + \int_{T_c}^T \frac{J c_p(T)}{P(T)} dT = 0$$

В этом случае теплопередача через стенки отсутствует, температура на стенках  $T_c$  постоянна и скорость  $v_2$  является функцией только температуры.

Решение примет вид:

$$p = \text{const}, \quad \rho_c = \text{const}, \quad \rho^\circ = \frac{1}{T^\circ}, \quad \Lambda^{**} + \int_1^{T^\circ} \frac{c_p^\circ(T^\circ)}{P^\circ(T^\circ)} dT^\circ$$

$$p_{12} = \frac{\mu_c}{H_1} \frac{\partial v_2^{**}}{\partial q_1}, \quad p_{23} = \frac{\mu_c}{H_3} \frac{\partial v_2^{**}}{\partial q_3} \quad (3.1)$$

Здесь функция

$$v_2^{**} = \int_0^{v_2} \mu^\circ(v_2) dv_2$$

является решением уравнения

$$\frac{\partial}{\partial q_1} \left( \frac{H_3}{H_1} \frac{\partial v_2^x}{\partial q_1} \right) + \frac{\partial}{\partial q_3} \left( \frac{H_1}{H_3} \frac{\partial v_2^x}{\partial q_3} \right) = 0 \quad (3.2)$$

при наличии граничных условий на стенках

$$v_{2c}^x = 0 \quad (3.3)$$

Условие (3.3) недостаточно для определения (единственного) решения уравнения (3.2). Поэтому окружное течение следует рассматривать лишь в некоторой части канала

$$q_{30} \leq q_3 \leq q_{30} + l$$

и присоединить к (3.3) условия

$$v_2^x = \psi_{q_{30}}, \quad \text{при } q_3 = q_{30}, \quad v_2^x = \psi_{q_{30}+l}, \quad \text{при } q_3 = q_{30} + l \quad (3.4)$$

Здесь  $\psi_{q_{30}}$ ,  $\psi_{q_{30}+l}$  — некоторые (произвольные) функции от  $q_1$ , заданные в сечениях  $q_3 = q_{30}$  и  $q_3 = q_{30} + l$  соответственно.

Если функция  $v_2^x$  найдена, то определение остальных параметров течения производится совершенно аналогично случаю, рассмотренному в предыдущем разделе. Заметим еще, что в отличие от предыдущего рассмотренного случая как скорость, так и температура будут функциями двух независимых переменных  $q_1$ ,  $q_3$ . В качестве примера рассмотрим окружное течение в канале с прямолинейными стенками (фиг. 2а, 2б). Обозначения возьмем те же, что и в предыдущем разделе:

$$p_{12} = p_{\varphi y}, \quad p_{23} = p_{y\zeta}, \quad v_2 = v_y; \dots$$

Течение будем рассматривать в области (фиг. 12)  $0 < \zeta < l$ . Уравнение (3.2) примет вид:

$$\frac{\partial^2 v_y^x}{\partial \varphi^2} + (R + \zeta) \frac{\partial}{\partial \zeta} \left[ (R + \zeta) \frac{\partial v_y^x}{\partial \zeta} \right] = 0 \quad (3.5)$$

Краевые условия (3.3), (3.4) запишутся

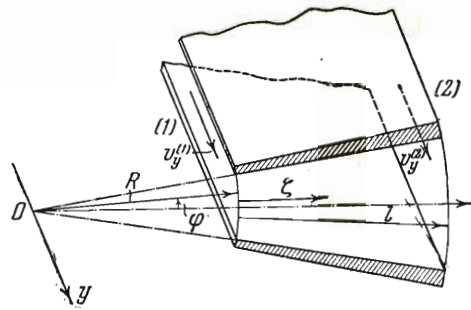
$$v_y^x(\varphi_c) = v_y^x(-\varphi_c) = 0 \quad (3.6)$$

$$v_y^x = \psi_R(\varphi), \quad v_y^x|_{\zeta=l} = \psi_{R+l}(\varphi) \quad (3.7)$$

Здесь  $\psi_R$ ,  $\psi_{R+l}$  — некоторые функции от  $\varphi$ , заданные в сечениях  $\zeta = 0$ ,  $\zeta = l$  соответственно.

Общим решением уравнения (3.5) при условиях (3.6) является

$$v_y^x = \sum_{n=-\infty}^{\infty} \frac{B_n v_n(\varphi^\circ)}{(1 + \zeta/R)^{k_n R/h_R}} \quad \left( \varphi^\circ = \frac{\varphi}{\varphi_c} \right) \quad (3.8)$$



Фиг. 12

где  $v_n(\varphi^\circ)$  — собственные функции,  $k_n$  — собственные значения бесконечной системы дифференциальных уравнений

$$\frac{d^2 v_n}{d\varphi^2} + k_n^2 v_n = 0 \quad (n = \pm, \pm 2, \dots) \quad (3.9)$$

при наличии граничных условий

$$v_n(1) = v_n(-1) = 0 \quad (3.10)$$

а  $B_n$  — постоянные коэффициенты. Собственные функции и собственные значения уравнений (3.9) при условиях (3.10)

$$\begin{aligned} v_{2m+1} &= v_{-(2m+1)} = \cos [(2m+1) \frac{1}{2} \pi \varphi^\circ] \\ &\quad (m=0,1,2,\dots) \\ k_{2m+1} &= -k_{-(2m+1)} = (2m+1) \frac{1}{2} \pi \\ v_{2m} &= -v_{-2m} = \sin [2m \frac{1}{2} \pi \varphi^\circ], \quad k_{2m} = -k_{-2m} = 2m \frac{1}{2} \pi \quad (m=1,2,3,\dots) \end{aligned} \quad (3.11)$$

не зависят от геометрии прямолинейного канала и образуют (при индексах одного знака) ортогональную систему функций в интервале

$$-1 \leq \varphi^\circ \leq 1 \quad (3.12)$$

Условие (3.7) можно записать с учетом (3.8), (3.11)

$$\begin{aligned} \sum_{m=0}^{\infty} [B_{2m+1} + B_{-(2m+1)}] v_{2m+1} + \sum_{m=1}^{\infty} [B_{2m} - B_{-2m}] v_{2m} &= \psi_R \\ \sum_{m=0}^{\infty} \left[ \frac{B_{2m+1}}{(1+l/R)^{\alpha_{2m+1}}} + \frac{B_{-(2m+1)}}{(1+l/R)^{-\alpha_{2m+1}}} \right] v_{2m+1} + \\ + \sum_{m=1}^{\infty} \left[ \frac{B_{2m}}{(1+l/R)^{\alpha_{2m}}} - \frac{B_{-2m}}{(1+l/R)^{-\alpha_{2m}}} \right] v_{2m} &= \psi_{R+l} \end{aligned}$$

где

$$\alpha_n = \frac{k_n R}{h_R}$$

Откуда, пользуясь ортогональностью системы собственных функций в интервале (3.12), получим для определения коэффициентов  $B_n$  выражения

$$\begin{aligned} B_{2m+1} + B_{-(2m+1)} &= \int_{-1}^1 \psi_R(\varphi^\circ) v_{2m+1}(\varphi^\circ) d\varphi^\circ \\ B_{2m} - B_{-2m} &= \int_{-1}^1 \psi_{R+l}(\varphi^\circ) v_{2m}(\varphi^\circ) d\varphi^\circ \\ \frac{B_{2m+1}}{(1+l/R)^{\alpha_{2m+1}}} + \frac{B_{-(2m+1)}}{(1+l/R)^{-\alpha_{2m+1}}} &= \int_{-1}^1 \psi_{R+l}(\varphi^\circ) v_{2m+1}(\varphi^\circ) d\varphi^\circ \\ \frac{B_{2m}}{(1+l/R)^{\alpha_{2m}}} - \frac{B_{-2m}}{(1+l/R)^{-\alpha_{2m}}} &= \int_{-1}^1 \psi_{R+l}(\varphi^\circ) v_{2m}(\varphi^\circ) d\varphi^\circ \end{aligned} \quad (3.13)$$

Во всех приведенных формулах  $R$  может быть как положительным (случай диффузора), так и отрицательным (случай конфузора).

Оставляя  $h_R$  неизменным, устремим  $R$  к бесконечности. Имеем при любом фиксированном  $\zeta$

$$\lim_{R \rightarrow \infty} \frac{1}{(1 + \zeta/R)^{\zeta_n}} = \exp\left(-\frac{k_n \zeta}{h_R}\right) \quad (3.17)$$

и решение (3.8), (3.13) перейдет при этом в решение для случая канала постоянной высоты  $h_R$ .

Поясним физический смысл полученного решения. Пусть зоны 1, 2 и соединяющий их канал заполняет покоящийся газ (фиг. 12). Сообщим газу в зоне 1 некоторую окружную скорость  $v_y^{(1)}$ . Тогда в канале установится некоторое окружное течение, затухающее, очевидно, вдоль оси канала.

Этому случаю будут соответствовать только положительные собственные значения  $k_n$ . Если сообщить окружную скорость  $v_y^{(2)}$  только газу в зоне 2, то окружное течение, которое установится в канале, будет возрастать (по модулю скорости) вдоль оси канала. Этому случаю будут соответствовать только отрицательные собственные значения  $k_n$ .

Наконец, если и в зоне 1 и в зоне 2 сообщить газу некоторую окружную скорость  $v_y^{(1)}$  и  $v_y^{(2)}$  соответственно, то окружному течению, которое в результате этого установится в канале, будут соответствовать как положительные, так и отрицательные собственные значения  $k_n$ . Заметим, что подобный механизм течения нетрудно осуществить в кольцевом канале, образованном двумя соосными осесимметрическими поверхностями вращения. В этом самом смысле термин «окружная скорость» оказывается удобным применить и для случая плоского канала, который можно, очевидно, рассматривать как предельный случай соответствующего кольцевого канала, далеко удаленного от оси симметрии.

В случае, когда окружное течение вызвано возмущением газа только перед каналом, формулы (3.8), (3.13) примут с учетом (3.11) вид:

$$v_y^* = \sum_{m=0}^{\infty} \frac{B_{2m+1} \cos [(2m+1)^{1/2} \pi \varphi]}{(1 + \zeta/R)^{(2m+1)^{1/2} \pi R / h_R}} + \frac{B_{2m} \sin [2m^{1/2} \pi \varphi]}{(1 + \zeta/R)^{2m^{1/2} \pi R / h_R}}$$

$$B_{2m+1} = \int_{-1}^1 \psi_R(\varphi) \cos \frac{(2m+1)\pi\varphi}{2} d\varphi \quad (m = 0, 1, 2, \dots)$$

$$B_{2m} = \int_{-1}^1 \psi_R(\varphi) \sin \frac{2m\pi\varphi}{2} d\varphi \quad (m = 1, 2, 3, \dots)$$

Приведем формулы для случая, когда окружное течение вызвано первой собственной функцией, которой соответствует наименьшее собственное значение  $k_1$ :

$$\frac{v_y^*}{v_{ymR}} = \frac{\cos (1/2 \pi \varphi)}{(1 + \zeta/R)^{1/2 \pi R / h_R}}$$

Такое течение будет затухать вдоль оси  $\zeta$  наиболее медленно и является (в смысле потерь энергии по оси  $\zeta$ ) наивыгоднейшим.

Касательные напряжения (3.1) примут вид:

$$p_{\varphi y} = - \frac{1}{2} \pi \mu_c \frac{v_{ym}^x}{h_R} \frac{\sin(1/2 \pi \varphi^\circ)}{(1 + \zeta / R)^{1+1/2 \pi R / h_R}}$$

$$p_{y\zeta} = - \frac{1}{2} \pi \mu_c \frac{v_{ym}^x}{h_R} \frac{\cos 1/2 \pi \varphi^\circ}{(1 + \zeta / R)^{1+1/2 \pi R / h_R}} \quad \begin{cases} 0 \leq \zeta \leq \infty & \text{при } R > 0 \\ 0 \leq \zeta \leq -R & \text{при } R < 0 \end{cases}$$

Для случая канала постоянной высоты  $h_R = h$  будем иметь в соответствии с (3.17)

$$\frac{v_y^x}{v_{ym}} = \cos \frac{\pi \varphi^\circ}{2} \exp \left( -\frac{\pi}{2} \frac{\zeta}{h} \right)$$

$$p_{\varphi y} = - \frac{1}{2} \pi \frac{\mu_c v_{ym}}{h} \sin \frac{\pi \varphi^\circ}{2} \exp \left( -\frac{\pi}{2} \frac{\zeta}{h} \right)$$

$$p_{y\zeta} = - \frac{1}{2} \pi \frac{\mu_c v_{ym}}{h} \cos \frac{\pi \varphi^\circ}{2} \exp \left( -\frac{\pi}{2} \frac{\zeta}{h} \right)$$

Скорость и температура определяются, как и в предыдущем разделе

$$\frac{\Lambda^x \Omega(\Lambda^x)}{\Lambda_{Rm}^x \Omega(\Lambda_{Rm}^x)} = \frac{v_y^x}{v_{ym}}$$

$$\Lambda^{xs} + \int_1^{T^\circ} \frac{c_p^\circ(T^\circ)}{P^\circ(T^\circ)} dT^\circ = 0$$

Поступила 12 IV 1954

#### ЛИТЕРАТУРА

1. Кочин Н. Е., Кибель Л. А. и Розе М. В. Теоретическая гидромеханика, 3-е изд. ОГИЗ, Гос. изд-во технико-теорет. литературы, Л.—М., 1948.
2. Кочин Н. Е. Векторное исчисление и начала тензорного исчисления, 7-е изд., Изд. АН СССР, М., 1951.